

(1977. 11. 22)

可変長フレーム、パケットを有する複合交換方式

宮原秀夫 長谷川利治
(京都大学 工学部)

1. まえがき

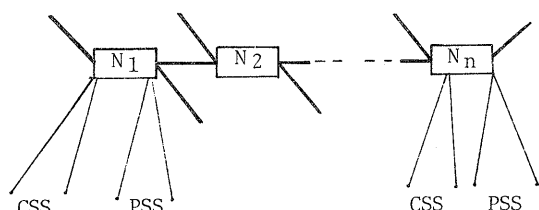
コンピュータ通信網の高度利用化に伴い、ネットワークにおけるトラヒックもそれに応じて多様な特性を有する様になります。従って、これから通信網はこれら多様なトラヒックを効率良く処理し得るものがなければならない。また最近の音声のデジタル化の技術によって、音声をもデジタル網を通して伝送しようという試みが行なわれつつある。^[1] これらの事を目的として最近、回線とパケットとの両機能を備え持つ複合交換方式についての考察が行なわれています。この方式の発想は、これまでに行なわれた各交換方式の比較評価の結果、即ち、計算機ターミナル等からの比較的短いメッセージに対するパケット交換か、それとは逆に、長いメッセージと同一特徴を持つトラヒック、例えば、デジタル化された音声信号、計算機又はデータベース等からのメッセージ、に対する回線交換がそれ有利であるという事に基づいています。^[2]

Couvello, et al. は、slotted envelop network (SENET) と呼ばれる回線/パケット統合システムを提案しています。^[2] これは音声、データ、画像などすべての通信サービスを対象としているのであるサービス統合網である。そこでは即時伝送を要求される長いメッセージ(音声、画像)は回線交換で、比較的即時伝送は要求されずが短かいメッセージ(会話型データ)はパケット交換で伝送し、それらのあい間をぬって優先度の低い即時性が要求されない長いメッセージ(バルクデータ)を送るものである。また Fischer は、一定長のフレーム内に音声用のタイムスロットと、データ用のタイムスロットとを割当てた回線一パケット複合交換方式を提唱し、その時 1つのフレーム内において音声が専有することができる領域とデータのそれとを完全に分離した場合(fixed boundary)とその境界を可変にし、音声領域にデータが割込まれる場合(movable boundary)について、音声トラヒックに対する呼損率、データパケットとの伝送遅延を解析的に求めている。^[3] さらに Gitman 等が、複合交換方式について種々の考察を行い、ネットワーク設計時ににおける問題点について論じている。^[4] 上記の Fischer のモデルにおいては、データパケット長は固定とし、伝送単位をフレームとしますため、可変長メッセージをパケット化した際に生じるダミーパケットをも伝送することになる。また SENETにおいてもフレーム内における呼が占有出来るタイムスロット長は可変であるが、フレーム長が固定であるため、一般にフレームの終りには必ず無使用(unused area)部分が生じる。このことは伝送すべきトラヒックが存在するにも拘らず、伝送路に空き生じさせることになり、伝送効率を低下させ、伝送遅延を増大させる結果になる。この様なフレーム長固定という制限は、音声等の連續しかつ同期を要するトラヒックに対し、時分割回線交換を行なおうとする際には、必然的なもののように思われる。伝送路上の無駄をなくすためデータパケット長を可変とすることにより、あらかじめ定めた時刻に送出すべき回線交換用トラヒックの伝送ができるようなり、その伝送遅延にゆらぎを生じることになる。このゆらぎはパケットによる音声伝送の場合には必ず生じるものであるが、この遅延のゆらぎの最大値がある値におさえられ、かつその最大遅延が回線交換を実現する上で許容

範囲内のものであれば良いと考えられる。そこで、本稿では次に述べるような複合交換方式 (Modified Integrated switching) を提唱し、その方式における呼損率、パケット伝送遅延に対する解析を行う。本方式におけるフレームとは、文献[2][3]などにおけるように、回線交換用トラヒックに対するタイムスロットとデータパケットとが混在するものではなく、回線交換用のタイムスロットだけから成るものとし、蓄積交換用のデータパケットとは区別している。フレームはある基本タイムスロット長の整数倍の長さを有し、その整数の最大値が規定されている。またパケットはその最大長のみが定められており、それ以下任意の長さを保有し得るものとする。この段階で、すでに、回線交換用フレームと蓄積交換用パケットとは個別の伝送単位でありフレームはパケットに優先して伝送される。但し、パケット伝送中はフレームの割込みを受けない。このように優先伝送(非割込み)および可変長パケットにする事によつて、ある定められたフレームの伝送時刻にパケットが伝送中のとき、そのフレームはその予定期間に送出不可となる。しかしながら後述する、最大フレーム長、最大パケット長に対する条件を満しておれば、発信交換局 (Source node) から一定の時間毎隔で送出を予定されている一連のフレームの目的局 (destination node) における到着時間毎隔の最大値を一定に保つことができる。この方式においては、回線交換用トラヒックが付いたりはパケットの伝送が可能であるため、文献[3]における movable boundary の場合に相当する。さらに可変長パケットを扱うことができるため、パケットティンゲ効率[4]を上げることができ、非割込み優先のため通常のフレームにおける無使用領域をもなくすることができます。次章において、本方式の詳細説明を行い、回線交換トラヒックに対する呼損率、データパケットに対する平均遅延を解析的に求め、他方式との比較評価を行う。

2. 方式説明

ここで対象とするネットワークは図1に示すようなものとする。各交換局には2種のターミナル、即ちCSTN用端末 (CSS) 及び回線交換用端末 (PSS) とか端末回線 (access line) を通じて接続されており、各局間は高速伝送回線 (trunk line) によって接続されている。局内におけるフレーム、パケットの流れを示したもののが図2である。CSSからのメッセージはパケット化されてパケット単位で access line を通じて局に到着し、パケット処理を受けてパケットバッファに入る。一方 PSS からは一定のビットレート (Access line の伝送速度) でラインバッファに入り、このバッファにたまつたビットは一定の時間毎隔で取り出されフレーム構成ブロックに移される。他交換局からはトランクラインを通してフレームとパケットとが到着がある。パケットはパケット処理へ回し、フレームはフレーム処理へ回し、CSSのラインバッファから取り出されたものを含めて新らしくフレームを構成する。このときのフレーム構成を図3に示す。



CSS: Circuit switched subscribers

PSS: Packet switched subscribers

— Trunk line

— Access line

Figure 1 Network model

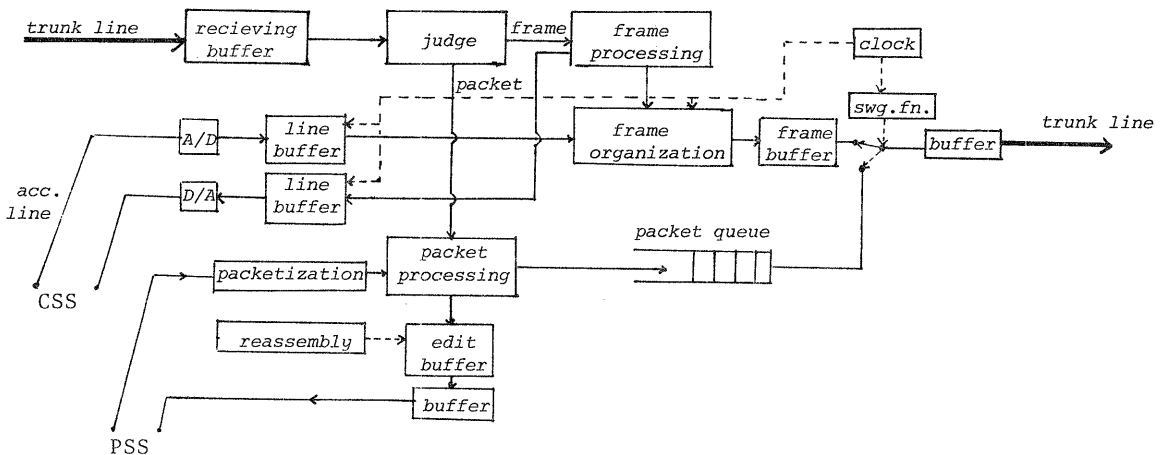


Figure Frame and packet flows in the switching node

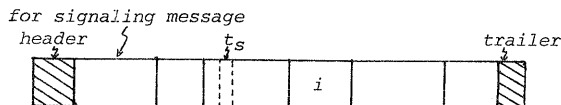


Figure Frame organization

図3において、 t_s はフレーム内の基本スロットを表わし、フレームは最大 M 個の基本スロットまで有することが許される。各トラヒックに対してはアクセストラインの伝送速度に比例してタイムスロットが割当てられる。図中 i の領域は CSS の No. i が連続して使用し得るタイムスロットである。この最大スロット数 M については次式を満しているものとする。

$$M < \frac{T_f - (t_h + t_s + t_p + t_{pm})}{t_s} \quad (1)$$

T_f ; フレーム伝送時間又彌(フレームサイクル) (sec.)

$$t_h = H_L / C$$

H_L ; フレームヘッダー長 (bit)

C ; トランクリンク伝送速度 (bit/sec)

t_s ; 基本タイムスロット長 (sec.)

t_p ; フレーム処理時間

$$t_{pm} = L_{pm} / C$$

L_{pm} ; 最大ペケット長 (bit)

交換局は一定の周期 T_f (フレームサイクル: この周期は各局で全て等しい、しかしとの時刻は一般に異なるものでよい) でフレームを送出しようとするが、その時ペケットが伝送中であればそのペケットの伝送が終了するまで待つから直ち

に伝送されることになる。その時の様子は図4のようになる。

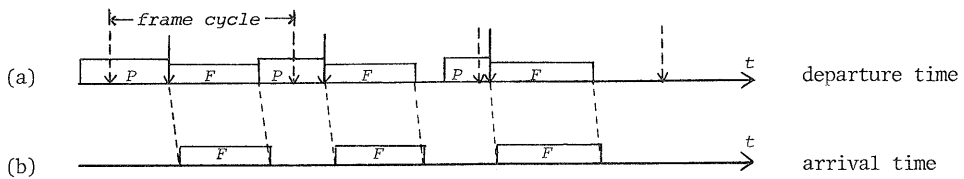


Figure 4 Frame departure and arrival time

図中送信側の破線で示されている時刻がパケット伝送による干渉を受けないと²のフレーム送出時点(フレーム送出予定期刻)を表わす。実際はパケットの干渉を受けるため実線の時刻からフレームの伝送が開始される。従って受信側でのフレーム到着過程は図(b)のようになる。このとき先の条件(1)が満たされているため送出予定期刻より遅れて送信されたフレームは、次のフレームの送出予定期刻以前にその伝送を完了している。いま i 局からの j 番目のフレームの送出予定期刻を $jT_f^{(i)}$ とし、 $jT_f^{(i)}$ と $(j+1)T_f^{(i)}$ との時間间隔に i に他局より到着するフレームを $aF_j^{(i)}$ とする。時刻 $jT_f^{(i)}$ に送信されようとするフレーム($dF_j^{(i)}$ と記可)に来るこの干渉情報を、 $jT_f^{(i)}$ 以前に i に到着していったフレーム即ち $aF_{j-1}^{(i)}$ に乗せられた情報か、あるいは i 局のCSSのラインバックアド $jT_f^{(i)}$ 以前に取り去された情報のみに限る。この様な手順に従って、図1のモデルにおいて、 N_1 にあるCSSより一定のセッタレイトで到着する回線トラヒックを一定周期 T_f でラインバックアド取り出して $aF_j^{(i)}$ に乗せて N_2 へ送信できる場合を想定する。図5(a)は N_1 の i 局のフレーム送出時点を表わしたもので、 $jT_f^{(i)}$ は送出予定期刻を、 $j\hat{T}_f^{(i)}$ は実際のパケット送出時刻を表わす。また(b)は $jT_f^{(i)}$ で送信されたフレームが N_2 へ到着する時点を表わし、時間间隔 $a_i - j\hat{T}_f^{(i)}$ はフレームの転送時間及び処理時間の和である。従って時刻 a_i では N_2 へ到着した $aF_k^{(i)}$ が処理されて再びフレームに再構成されて N_3 へ送信可能となる時刻となる。 (c) は N_2 からのフレーム送出予定期刻を示す。 $kT_f^{(i)}$ は $jT_f^{(i)}$ のあと最初に来る N_2 でのフレーム送出予定期刻である。一般に、 $(k+i)T_f^{(i)} - (k+i-1)T_f^{(i)}$ に N_2 へ到着したフレーム $aF_{k+i}^{(i)}$ に乘るデータ情報を $aF_{k+i-1}^{(i)}$ に乗ることができる。いま N_1 のCSSからフレーム $aF_j^{(i)}$ から $(j+8-1)$ 番目のフレーム $dF_j^{(2)}$ まで連續して呼みを伝送する場合を考える。このとき、 N_2 からの送信過程に対し、次のことが言える。但しフレーム $aF_j^{(i)}$ が、呼み出²属するタイムスロット(S_2)を含んでいふこと $\Delta_2 \in aF_j^{(i)}$ と記可。

$$\sum_{l=j}^{j+8-1} \delta_l^{(2)} = 0 \implies \begin{cases} \sum_{l=k+1}^{k+8} \delta_l^{(2)} = 0 & \Delta_k^{(2)} = 1 \text{ かつ} \\ \max \left(\sum_{l=k+1}^{k+8} \delta_l^{(2)} \right) = 1 & \Delta_k^{(2)} = 0 \text{ かつ} \end{cases} \quad (2)$$

$$\begin{aligned} \delta_x^{(2)} &= 0 & \Delta_x \in aF_x^{(2)} \\ &= 1 & \Delta_x \notin aF_x^{(2)} \end{aligned}$$

$S_{k+1}^{(2)} = 1$ は $a_j > kT_f^{(2)}$ のとき起り
 $S_k^{(2)} = 0$ は $a_j \leq kT_f^{(2)}$ のとき起る。
 $a_j > kT_f^{(2)}$ と $dF_j^{(2)}$ に来るといい
 dF_k のタクムスロット S_α は。
 dF_{k+1} に来るせらか、続くフレーム
 の到着時刻については $a_{j+1} < (k+1)$
 $\cdot T_f^{(2)}$ が常に成立する k の dF_{k+1}
 $(k=R, R+1, \dots, R+g)$ には S_α の
 連続12来るこどでできる。次に
 $a_j \leq kT_f^{(2)}$ とき、 $dF_j^{(2)}$ に来る、
 いて S_α は $dF_k^{(2)}$ に来るこどで
 きる。あるや ($0 < p \leq g$) について $a_{j+p} > (k+p)T_f^{(2)}$ と「す場合が生じる。こ
 と $S_{k+p}^{(2)} = 1$ とするが $S_{k+p}^{(2)} = 0$ ($p < k \leq g$) とする。このことから呼んで N_2
 を目的局としているとき、 S_α を含む先頭のフレームが N_2 に到着してから高々 T_f
 時間遅らせて S_α を CSSへ送出することによる一定のビットレイト（入力時と
 同じ速度）で連續送出可能となる。

3. フレーム遅延

フレーム遅延とは次のようになる。図1のモデルにおいて N_1 から N_m まで
 呼みを伝送可るとき、呼びの先頭のフレームの N_1 における送出予定期刻を $\hat{r}T_f^{(2)}$
 とし、 N_m から CSSへαを連續送出可能となる時刻を $\hat{r}T_f^{(2)}$ としたとき、フレーム遅延 D_f は。

$$D_f = \max(\hat{r}T_f^{(2)} - \hat{r}T_f^{(2)}) \quad (3)$$

と定める。各局における送出予定期刻が一致しないときは。

$$D_f = (n-1)T_f^{(2)} \quad (4)$$

となり、送出時刻が異なるとき

$$D_f = 2(n-1)T_f^{(2)} + (n-1)T_f^{(2)} \quad (5)$$

上式右辺第1項は $\hat{r}T_f^{(2)}$ からみて S_α を来せた先頭のフレームが n に到着するまで
 に遅延の最大値であり、第2項は前節で述べたように N_m から α を連續送出するため
 に、 α の先頭の情報の送出を遅らさなければならぬ時間である。
 第2項は N_m より連續送出という条件を満すために必要な確定値である。
 第1項は0に近い値から $2(n-1)T_f^{(2)}$ の間で確率分布している。いまその間を一様に分布して
 いるものとすれば D_f の平均値 \bar{D}_f は

$$\bar{D}_f = 2(n-1)T_f^{(2)} \quad (6)$$

となり、本方式による遅延は、各局における送出予定期刻が全て等しく且つパケット伝送による干渉を受けない、いわゆる完全にネットワークの同期がとられた
 もとに依存する時に比べる遅延の2倍となる。

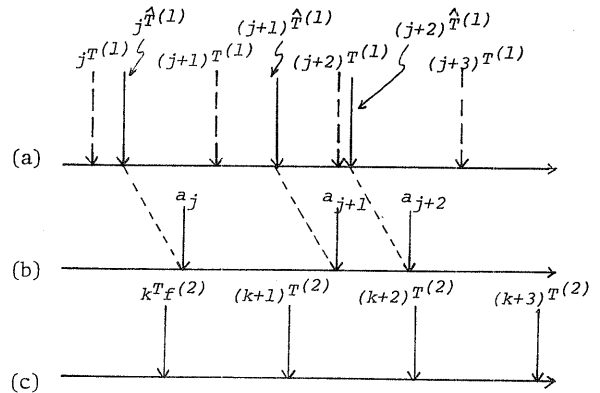


Figure 5 Departure and arrival times

4. パケット伝送遅延

パケットに対する伝送遅延は、優先順位を有する非割込み型の待合セグメントモデル化して解析的に求めることができる。 N_i へ到着するパケットの到着過程がホーリングであると仮定すれば、パケットが N_i に到着してから N_{i+1} へ伝送を完了するまでに要する時間 $D_i^{(p)}$ は

$$D_i^{(p)} = \frac{\lambda_p \cdot E(\bar{t}_p^2) + \lambda_f \cdot E(\bar{t}_f^2)}{2(1 - \lambda_p \bar{t}_p - \lambda_f \bar{t}_f)} + \bar{t}_p \quad (7)$$

但し

- λ_p : パケットの到着率
- λ_f : フレームの到着率 ($= 1/T_f$)
- $E(\bar{t}_p^2)$: パケット伝送時間の2次モーメント
- $E(\bar{t}_f^2)$: フレーム伝送時間の2次モーメント
- \bar{t}_p : パケットの平均伝送時間
- \bar{t}_f : フレームの平均伝送時間

(7) 式右辺第1項の分母が通常の待合せ理論における公式と多少異なるが、これはフレームの到着が一定到着であることにによるものである。

5. 数値例および方式比較

表1は、フレームサイクル $T_f = 10 \text{ ms}$ 、トランクラインの伝送速度 $C = 1.544 \text{ Mbps}$ 、アクセスラインの伝送速度 $a = 8, 16, 32, 64 \text{ kbps}$ として (1) 式の条件を満す最大の M の値 (M_m) を示す。但し、フレームヘッダー長 $H_L = 50 \text{ bits}$ 、フレーム処理時間 $t_p = 2 \text{ ms}$ とした。(このパラメータ設定は以後に示す例においても全て共通である。)

図6は通過する交換局数に対するフレーム遅延を示す。

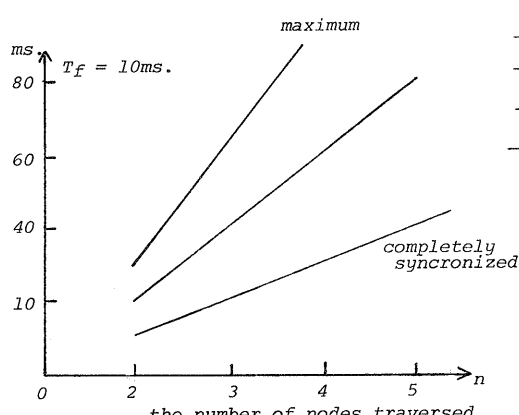


Table 1

Access line speed	8k	16k	32k	64k
$L_{pm} = 2000$	127	63	31	15
$L_{pm} = 1000$	135	67	33	16

L_{pm} : Maximum packet length

frame cycle $T_f = 10 \text{ ms}$.

trunk line speed $C = 1.544 \text{ Mbps}$

frame header $H_L = 50 \text{ bits}$

signaling mess. capacity $H_S = 500 \text{ bits}$

frame processing time $t_p = 2 \text{ ms}$.

Figure 6 Frame delay vs. the number of switching nodes

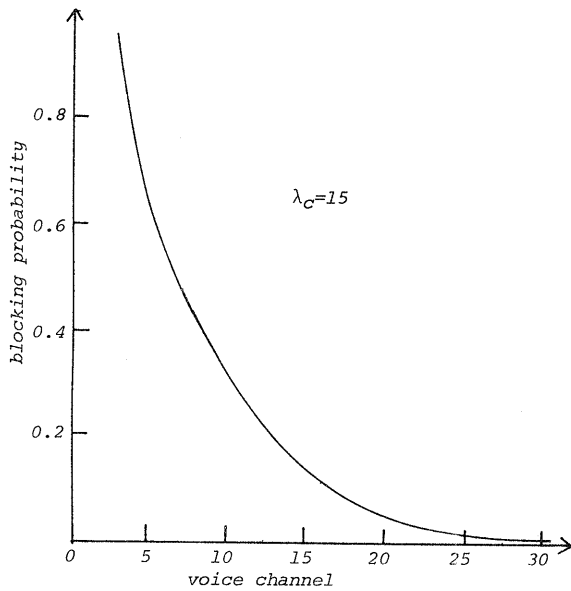


Figure 7 Blocking probability for voice traffic vs. the number of voice channel

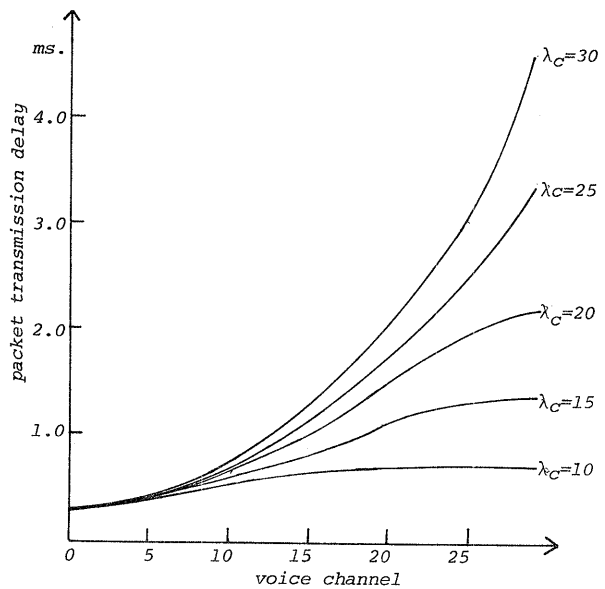


Figure 8 Packet transmission delay of modified integrated switching vs. the number of voice channel

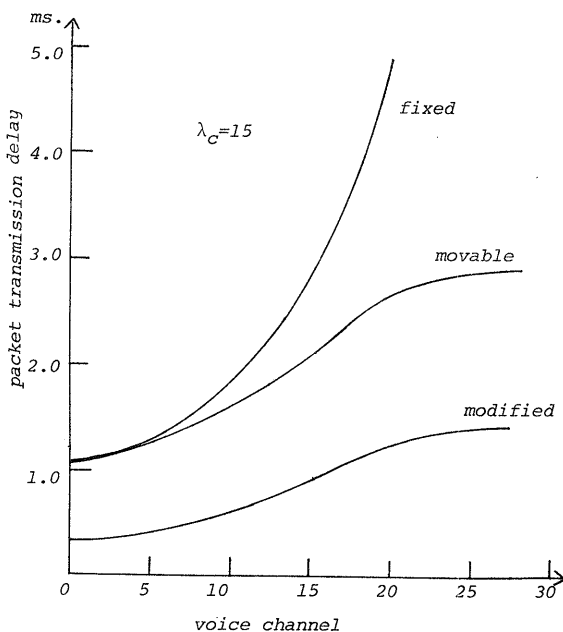


Figure 9 Comparison of packet delay between modified, movable and fixed methods.

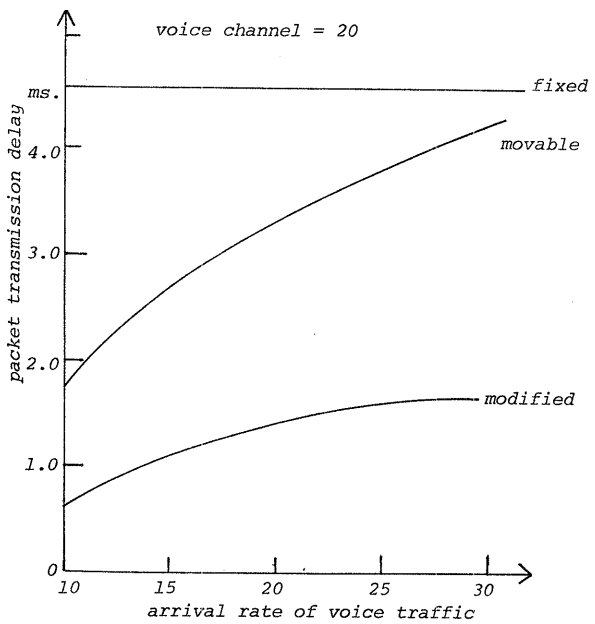


Figure 10 Comparison of packet delay between each method vs. the arrival rate of voice traffic

図7は回線トラヒック(音声トラヒック)のN₁への到着率をλ_c=15 call/min. 回線の保留時間t=1 minとして時の呼损率を示す。これは通常のアーラン呼损式より求めたものである。(文献[6]によればフレームサイクルが10⁻¹ sec.以下ならばフレームによる効果を無視してアーラン式で十分近似される)ことを述べている。)

図8~10は本方式(Modified Integ. SWG Method)におけるパケット伝送遅延を示すもの(式(7)によると)であるが、種々のパラメータ設定は次の通りである。

Trunk line speed C = 1.544 Mbps	Access line speed a = 32 kbps
Message arrival rate λ _m = 200/sec	Average message length L _m = 500 bits
Maximum packet length L _{pm} = 1000 bits	Packet and frame header HL = 50 bits
Signaling message length H _S = 500bits/frame	
Frame cycle T _f = 10 ms.	

L_m, λ_mより(7)式における右辺, E(t_p)を得るには文献[5]のAppendix参照
図9, 10はFischerが扱っているモデル[3]と本方式との比較を行ってい。Fixed
とmovable boundaryに関するFischerの解析においては、パケットは全てフレーム
に含まぬフレーム単位で伝送処理を行つてゐるため平均遅延はフレームサイクル
の3/2倍以上となり(平均待ち時間がT_f/2, 伝送時間がT_f)。この場合(T_f=10 ms)
は15 msと大きな遅延を予えることになる。伝送をフレーム単位ではなくパケット
単位で考えると遅延は二倍以下となるはずである。そこで図中の値は筆者
算による次式より計算したものである。(紙面の都合上導出過程は省略する)

$$\bar{D}_p = \frac{\lambda_p E(t_p) + \lambda_f E(t_f)}{2(1 - \lambda_p t_p - \lambda_f t_f)} + 5 \frac{T_f}{2} + (1-\sigma) \frac{T_f}{2} + \frac{T_f}{B}$$

σ: probability of channel availability for packets

6. おわり

本方式の特徴は、フレーム及びパケット長個定の制限による伝送効率、パケット
タイミング効率の低下を防ぐ点にあり、パケット伝送遅延の減少は定性的にも容易
に理解し得る。伝送交接のための制御手順は通常の複合方式と大差なく、それ程
複雑にはならないと思われる。同期に関しては各局間の時刻のずれは問題
にならない。(1)のMの値に余裕を持たせれば、厳密な網同期を必要としない。
また本方式とパケットによる音声伝送の場合とを比較してみると、パケット伝送に
おいては、音声遅延に対するばかりのゆらぎがある。本方式においては遅延の最
大値が確定値として抑えられるため、その最大遅延を許せば、パケットの時に
生ずるような欠落をなしに、音節の伝送が可能である。さらにフレーム中のタイ
ムスロット毎に多歩のヘッダー付け加えることにより有音時のみ情報を伝送可
能であると思われる。

[REFERENCES]

- (1) J. W. Forgie and A. G. Nemeth,"An Efficient Voice/data Network using Statistical Flow Control," Proc. of ICC-77, 1977
- (2) G. J. Covello and P. A. Vena,"Integration of Circuit/packet Switching by a SFNET Concept," Proc. of NTC, 1975
- (3) M. J. Fischer and T. C. Harris,"A Model for Evaluating the Performance of an Integrated Circuit-and Packet-Switched Multiplex Structure," IEEE trans. on Comm., Com-24, 2, 1976
- (4) H. Miyahara, Y. Teshigawara and T. Hasegawa,"Comparative Evaluation of Switching Methods in Computer Communication Networks," Proc. of ICC-75, 1975.
- (5) G. D. Cole,"Computer Network Measurements Techniques and Experiments," Ph. D. Dissertation of UCLA, 1971
- (6) I. Gitman and et al,"Issues in Integrated Network Design," Proc. of ICC-77, 1977